

床組の剛性を考慮したトス橋の自由振動解析について  
—横断面の形状変化を無視した場合—

山口大学 正員 會田 実義

直路トス橋の振動に床板の剛性が大きな影響を及ぼすことが予想される。本報文は、床組、特に鉄筋コンクリート床板の剛性を考慮したトス橋の立体的自由振動解析法を示したものである。これは、横断面の形状変化を無視した場合の運動方程式のみを示す。

解析上の仮定

振動解析に当り、トスゲ氏に次の仮定を入れた。

- ①横断面を構成している水平材および垂直材を除いた他の部材には、トス一般の仮定が成立する。
- ②横断面の四隅の節点は、横断面の形状変化を無視した場合および考慮した場合、いずれでも、横断面に直角な荷重に対してヒンジの働きをする。
- ③横断面を構成している垂直材および水平材の軸力による伸縮を無視する。
- ④横断面を構成している水平材は曲げに対して剛である。
- ⑤横断面の形状変化を無視した場合 … 垂直材も曲げに対して剛であるとして、横断面の四隅の節点は横断面内では剛結合である。

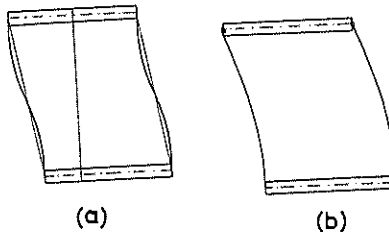


図 - 1

- ⑥横断面の形状変化を考慮した場合 … 垂直材は曲げ変形を起すとし、図-1の形状変化とする。  
また、鉄筋コンクリート床板について次の仮定を入れた。

⑦床板の橋軸に直角な水平軸(図-2のX軸)まわりの曲げ剛性を無視する。

⑧同じく、橋軸に直角な鉛直軸(図2のZ軸)まわりの曲げ剛性を考慮する。

⑨床板のねじり剛性を考慮する。

⑩床板の橋軸方向の伸縮の剛性を無視する。

⑪床板を、運動方程式を立てるべき注目の横断面の位置で弾性支持された連続ばかりとする。

⑫横断面の形状変化を無視した場合 … 床板は曲げ変形のない垂直材にヒンジ結合されていきとする

(図-3参照)

⑬横断面の形状変化を考慮した場合 … 床板は図-4に示すように、上下の水平材にヒンジ結合された曲げに対して剛な補足的な垂直材にヒンジ結合されていきとする。

運動方程式を立てて、次の仮定を入れた。

⑭トス橋の質量をトスの各節点に集中せしめ。

⑮トス橋の一横断面の質量は、四隅の節点の質量を

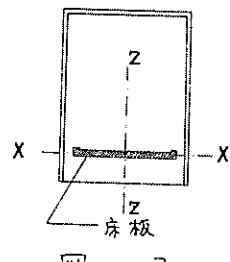


図 - 2



図 - 3

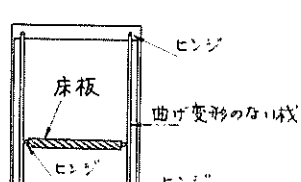


図 - 4

横断面、重心に集め下ものとす。

④振動は微小振動で減衰力は作用しない。

横断面の形状変化を無視した場合の運動方程式

仮定したが如く、トラス橋の変位および変形は図-5の如くに分けられ。

横断面の重心の水平変位 .....  $U_i$

" " 鉛直変位 .....  $W_i$

横断面の回転変位 .....  $\Theta_i$

節点の橋軸平行方向の変位 .....  $V_{4itm}$

これらの変位が生じたとき、横断面の四隅の節点変位は図-6を参考して、次式で表わされる。

$$\bar{U}_{4itm} = U_i + \Theta_i \bar{e}_{0,4itm}, \quad \bar{V}_{4itm} = V_{4itm} \quad \left. \right\} \dots (1)$$

$$\bar{W}_{4itm} = W_i - \Theta_i \bar{e}_{0,4itm},$$

床板の重心への水平変位 ( $d_i$ ) より回転変位 ( $\varphi_i$ ) は次式で表わされる。

$$d_i = U_i - \Theta_i \bar{e}_{2i}, \quad \varphi_i = \Theta_i \dots (2)$$

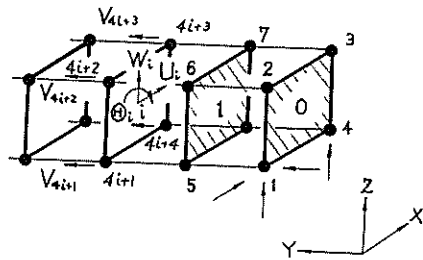


図-5

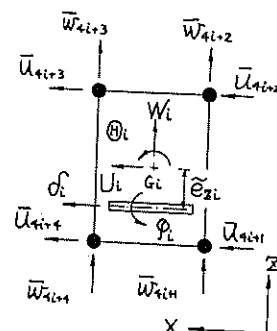


図-6

$$\therefore d_i = U_i - \Theta_i \bar{e}_{2i}, \quad \bar{e}_{0,4itm} = \bar{Z}_{4itm} - \bar{Z}_{0i}, \quad \bar{e}_{0,4itm} = \bar{X}_{4itm} - \bar{X}_{0i}, \quad \bar{e}_{2i} = \bar{Z}_{0i} - \bar{Z}_{2i} \dots (3)$$

今、隣接する  $i-1, i$  および  $i+1$  番目の横断面のそれらの中間に、任意節点  $j = k(i-1)+n$ ,  $k=4itm$ ,  $n=1, 2, 3, 4$  とす。これより任意節点の中でも、節点  $i$  と  $j$  との結合部の節点における節点変位を  $N_{ij}$  とすと、 $N_{ij}$  は次式で表わされる。

$$N_{ij} = K_{ij} \{ (\bar{U}_j - \bar{U}_i) \lambda_{ij} + (\bar{V}_j - \bar{V}_i) \lambda_{ij} + (\bar{W}_j - \bar{W}_i) \lambda_{ij} \} \dots (4)$$

$$\therefore N_{ij} = K_{ij} \{ -U_{i-1} \lambda_{ji} - U_i \lambda_{ij} - W_{i-1} V_{ji} - W_i V_{ij} \}$$

$$- \Theta_{i-1} (\bar{e}_{0j} \lambda_{ji} - \bar{e}_{0i} V_{ji}) - \Theta_i (\bar{e}_{0j} \lambda_{ij} - \bar{e}_{0i} V_{ij}) \}$$

$$\therefore N_{ij} = E A t_{ij} / l_{ij} \dots (5)$$

一方、 $i-1, i$  および  $i+1$  番目の横断面の位置の床板の重心への水平変位  $E$  を  $d_{i-1}, d_i, d_i$  および  $d_{i+1}$ 、回転変位  $\varphi_{i-1}, \varphi_i$  および  $\varphi_{i+1}$  とすと、 $i$  番目の横断面の位置の床板に生ずる水平面内の曲げモーメント  $M_i$  は図-7を参考すると、次式で表わされる。

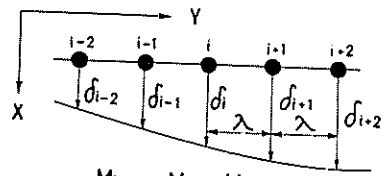


図-7

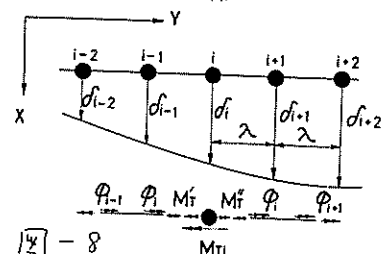


図-8

$$M_i = -\frac{EI_s}{\lambda^2} (\delta_{i-1} - 2\delta_i + \delta_{i+1}) = -\frac{EI_s}{\lambda^2} (U_{i-1} - 2U_i + U_{i+1} - \theta_{i-1}\tilde{\theta}_{\text{ext}} + 2\theta_i\tilde{\theta}_{\text{ext}} - \theta_{i+1}\tilde{\theta}_{\text{ext}}) \quad (6)$$

図-8中のひずみモーメント  $M'_T$  および  $M''_T$  はそれを以下式で表すとある。

式中、入力パネル長、 $EI_s$  は床板の剛性、 $M'_T = -\frac{GJ_s}{\lambda} (\theta_{i-1} - \theta_i) = -\frac{GJ_s}{\lambda} (\theta_{i-1} - \theta_i)$   
の橋軸に直角な鉛直軸まわりの曲げ剛性、 $GJ_s$  は床板のねじり剛性  
 $M''_T = -\frac{GJ_s}{\lambda} (\theta_i - \theta_{i+1}) = -\frac{GJ_s}{\lambda} (\theta_i - \theta_{i+1}) \quad \} \dots \quad (7)$

i番目の横断面に既述の変位が生ずるとき、横断面の四隅および床板に図-9に示す復元力および復元モーメントが生ずる。

これより、横断面の水平方向の運動方程式は

$$MC_i \frac{d^2U_i}{dt^2} = -(K_{11} + K_{12} + K_{13} + K_{14}) - R_i \dots \quad (8)$$

横断面の鉛直方向の運動方程式は

$$MC_i \frac{d^2W_i}{dt^2} = -(K_{21} + K_{22} + K_{23} + K_{24}) \dots \quad (9)$$

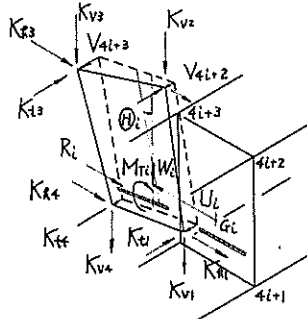


図-9

横断面の重心まわりの回転の運動方程式

$$L_i \frac{d^2\theta_i}{dt^2} = - \sum_{m=1}^4 \bar{C}_{v, \text{ext}, m} K_{mm} + \sum_{m=1}^4 \bar{C}_{e, \text{ext}, m} K_{mm} - M_{Ti} + R_i \tilde{\theta}_{\text{ext}} \dots \quad (10)$$

節点  $i+m$  の橋軸方向の運動方程式

$$M_{i+m} \frac{d^2V_{i+m}}{dt^2} = -K_{mm} \dots \quad (11)$$

以上の運動方程式における復元力および復元モーメントは次の通りである。

$$\begin{aligned} K_{mm} &= -\sum_{n=1}^4 (N_{i+m, 4(i-1)+n} V_{4i+m, 4(i-1)+n} + N_{i+m, 4(i+1)+n} V_{4i+m, 4(i+1)+n}) \\ K_{pm} &= -\sum_{n=1}^4 (N_{i+m, 4(i-1)+n} \lambda_{4i+m, 4(i-1)+n} + N_{i+m, 4(i+1)+n} \lambda_{4i+m, 4(i+1)+n}) \\ K_{tm} &= -\sum_{n=1}^4 (N_{i+m, 4(i-1)+n} \mu_{4i+m, 4(i-1)+n} + N_{i+m, 4(i+1)+n} \mu_{4i+m, 4(i+1)+n}) \end{aligned} \quad \} \dots \quad (12)$$

$$R_i = -\frac{1}{\lambda} (M_{i-1} - 2M_i + M_{i+1}) = \frac{EI_s}{\lambda^2} (U_{i-2} - 4U_{i-1} + 6U_i - 4U_{i+1} + U_{i+2} - \theta_{i-2} \tilde{\theta}_{\text{ext}})$$

$$+ 4\theta_{i-1} \tilde{\theta}_{\text{ext}} - 6\theta_i \tilde{\theta}_{\text{ext}} + 4\theta_{i+1} \tilde{\theta}_{\text{ext}} - \theta_{i+2} \tilde{\theta}_{\text{ext}} \dots \quad (13)$$

$$M_{Ti} = M'_T - M''_T = -\frac{GJ_s}{\lambda} (\theta_{i-1} - 2\theta_i + \theta_{i+1}) \dots \quad (14)$$

以上の復元力および復元モーメントを運動方程式に代入し、節点荷重を横断面の重心の変位および節点の橋軸平行方向の変位で表す。ことに、変位を次の周期関数で表す。すなはち、一横断面での運動方程式は式(16)となる。

$$\left. \begin{array}{l} U_i = U_i e^{i\omega t}, \quad W_i = W_i e^{i\omega t} \\ \theta_i = \theta_i e^{i\omega t}, \quad V_{i+1/2} = V_{i+1/2} e^{i\omega t} \end{array} \right\} \dots \quad (15)$$

$i = i$ ,  $\omega$ : 自振動数

$$+ D_{i-1} X_{i-2} + (A_i + zD_i) X_{i-1} + (B_i + zD_i - \omega^2 W_i) X_i + (C_i + zD_i) X_{i+1}$$

$i = i$ ,  $X_i$  は  $i$  番目の横断面  $X_i = \begin{bmatrix} U_i \\ W_i \\ \theta_i \\ V_{i+1/2} \\ V_{i+1/2} \\ V_{i+1/2} \\ V_{i+1/2} \end{bmatrix} \dots \quad (17)$

の変位ベクトルで式(17)で表す  
こととする。また、 $W_i$  は  $i$  番目  
の横断面の質量分布を表す対  
角行列式式(18)で表す。

$$W_i = \begin{bmatrix} m_i & & & & & & \\ & m_i & & & & & \\ & & m_i & & & & \\ & & & m_{i+1} & & & \\ & & & & m_{i+2} & & \\ & & & & & m_{i+3} & \\ & & & & & & m_{i+4} \end{bmatrix} \quad (18)$$

式(16)中の  $A_i$ ,  $B_i$  および  $C_i$  はトラス部材の剛性に関する  $7 \times 7$  の正方形行列であり、 $+D_i$ ,  $-zD_i$ ,  $+zD_i$  および  $-zD_i$  は床板の剛性に関する  $7 \times 7$  の正方形行列である。式(16)より明  
らかのように、床板の剛性を無視した場合の、トラス橋の一横断面の運動方程式は式(19)で表す  
こととする。

$$A_i X_{i-1} + (B_i - \omega^2 W_i) X_i + C_i X_{i+1} = 0 \dots \quad (19)$$

### 参考文献

村上・倉田：横断面の変形を無視したトラス橋の自由振動の立体制的解析、九州大学工学雑誌、第44巻、3号。

村上・倉田：横断面の変形を考慮したトラス橋の自由振動の立体制的解析、九州大学工学雑誌、第44巻、3号。